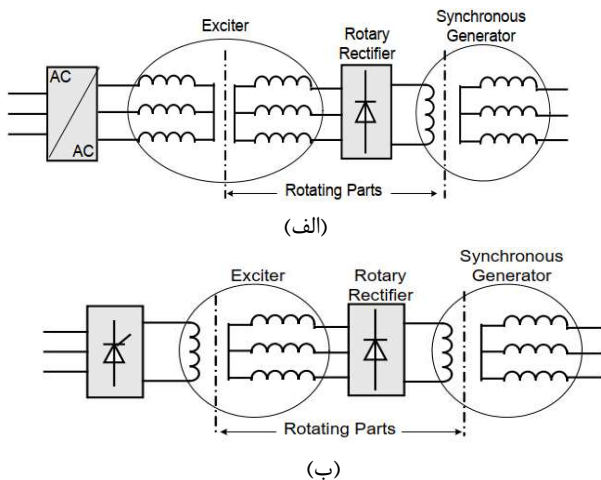


روشی جدید برای تخمین جریان تحریک در ژنراتور سنکرون بدون جاروبک مبتنی بر سیستم تحریک سنکرون

کامیلا حشمی^۱، مصطفی شاه نظری^۲

^۱دانشجوی دکتری، دانشگاه یزد، یزد،
shahnazari@yazd.ac.ir
^۲استادیار، دانشگاه یزد، یزد،

ب- کاربردهایی که هزینه تعمیر و نگهداری بالایی دارند مانند سیستم‌های تبدیل انرژی جزر و مد (tidal) و توربین‌های بادی نصب شده در دریا (off-shore) [۷-۸]. در سیستم‌های تولید توان متوسط و کوچک جهت تامین انرژی در ریز شبکه‌ها، مناطق دورافتاده، منابع انرژی اضطراری و ... [۹-۱۱]. در سیستم تحریک بدون جاروبک توان مورد نیاز تحریک را می‌توان از دو روش تامین نمود. در ساختار اول از یک ماشین القایی سه فاز رتور سیم‌پیچی شده استفاده می‌شود بگونه‌ای که استاتور از یک مبدل کنترل شده تغذیه شده و ولتاژ القایی در رتور از طریق یک یکسوساز دیودی گردان به تحریک ژنراتور اعمال می‌شود (سیستم تحریک القایی) [۷]. در ساختار دوم تحریک از طریق یک ژنراتور سنکرون با طراحی معکوس (میدان ساکن و آرمیچر گردان) تامین می‌شود (ژنراتور تحریک اصلی). ولتاژ آرمیچر که روی رotor قرار دارد توسط یکسوساز گردان یکسوز شده و به سیم‌پیچ تحریک ژنراتور اصلی اعمال می‌شود. سیم‌پیچ تحریک ژنراتور سنکرون آهنربای دائم تغذیه می‌شود کنترل شده توسط یک ژنراتور سنکرون آهنربای دائم تغذیه می‌شود (سیستم تحریک سنکرون). شکل (۱) ساختار سیستم تحریک القایی (الف) و سیستم تحریک سنکرون (ب) را نشان می‌دهد.



شکل ۱: ساختار سیستم تحریک بدون جاروبک

الف- سیستم تحریک القایی - ب- سیستم تحریک سنکرون

چکیده

ژنراتورهای سنکرون بدون جاروبک بواسطه قابلیت اطمینان بالا و نیاز کم به تعمیر و نگهداری در بسیاری کاربردها مورد استفاده قرار می‌گیرند. در سیستم تحریک بدون جاروبک اندمازه گیری و ولتاژ و جریان تحریک ژنراتور اصلی امکان پذیر نیست و لذا تخمین این کمیت‌ها در مواردی چون پایش وضعیت و تشخیص خطا، تخمین پارامتر، کنترل و حفاظت از اهمیت ویژه‌ای برخوردار است. در این مقاله دو روش برای تخمین جریان تحریک در ژنراتور سنکرون بدون جاروبک مشتمل بر سیستم تحریک از نوع سنکرون ارائه شده است. روش اول بر کمیت‌های سمت ژنراتور تحریک استوار است که به موقعیت رتور و زاویه کمتواسیون وابسته می‌باشد. اما روش دوم از کمیت‌های سمت ژنراتور اصلی برای تخمین استفاده می‌کند و به موقعیت رتور بستگی ندارد. نتایج شبیه سازی قابلیت این روش را در تخمین جریان تحریک به خوبی نشان می‌دهد.

واژه‌های کلیدی

ژنراتور سنکرون، سیستم تحریک بدون جاروبک، تخمین جریان تحریک

۱- مقدمه

ژنراتورهای سنکرون از نوع رتور سیم‌پیچی شده بسته به نوع تحریک به دو دسته با جاروبک و بدون جاروبک تقسیم می‌شوند. در حالت بدون جاروبک ذغال‌ها و حلقه‌های لغزان حذف شده و ضمن افزایش قابلیت اطمینان سیستم نیاز به تعمیر و نگهداری کاهش می‌یابد [۳-۱]. با عنایت به این ویژگی‌ها ژنراتورهای سنکرون بدون جاروبک علاوه بر کاربردهای معمول برای تولید انرژی الکتریکی در نیروگاه‌ها، در کاربردهای دیگری نیز مورد استفاده قرار می‌گیرند که از آن جمله می‌توان به موارد زیر اشاره کرد: الف- سیستم‌های تولید توان در محل (on-board) و یا استارت-ژنراتور که در آنها قابلیت اطمینان و ایمنی بسیار مهم است مانند کاربردهای هوافضا و تجهیزات دریایی [۶-۴].

عملکردی یکسوساز گردن وابسته است. اما در روش دوم جریان تحریک با استفاده از کمیت‌های سمت استاتور ژنراتور اصلی استخراج شده و به موقعیت رتور وابسته نیست.

در ادامه در بخش دوم این مقاله روابط مربوط به مدل VBR ژنراتور تحریک استخراج شده و سپس بر مبنای این روابط مدل مقدار میانگین یکسوساز بیان شده است. در بخش سوم روش تخمین جریان تحریک ارائه شده و سپس در بخش چهارم کارایی روش مذکور با استفاده از داده‌های شبیه سازی بررسی و ارزیابی شده است. در انتها نیز نتایج بررسی این روش بیان شده است.

۲-مدل‌سازی ژنراتور تحریک

در ساختار ژنراتور تحریک سیم‌پیچ میدان روی استاتور (ساکن) و سیم‌بندی سه فاز آرمیچر روی رتور قرار دارند. با این وجود روابط ریاضی تو صیف‌کننده رفتار ماشین تفاوتی با ساختار معمول ندارد. از سوی دیگر توان ژنراتور تحریک بسیار کمتر از ژنراتور اصلی بوده و لذا فاقد سیم‌پیچ میراکننده است. بنابراین روابط ولتاژ-جریان ژنراتور تحریک در قاب مرتع دومحوری رتور بصورت زیر بیان می‌شوند شکل (۲):

$$v_{qr} = r_r i_{qr} + \omega_r \lambda_{dr} + p \lambda_{qr} \quad (1)$$

$$v_{dr} = r_r i_{dr} - \omega_r \lambda_{qr} + p \lambda_{dr} \quad (2)$$

$$v_{0r} = r_r i_{0r} + p \lambda_{0r} \quad (3)$$

$$v_{fe} = r_f e i_{fe} + p \lambda_{fe} \quad (4)$$

در این روابط p عملگر مشتق (d/dt) است. شارهای پیوندی نیز طبق روابط زیر بیان می‌گردند:

$$\lambda_{qr} = L_{lr} i_{qr} + \lambda_{mqr} \quad (5)$$

$$\lambda_{dr} = L_{lr} i_{dr} + \lambda_{mdr} \quad (6)$$

$$\lambda_{0r} = L_{lr} i_{0r} \quad (7)$$

$$\lambda_{fe} = L_{lf e} i_{fe} + \lambda_{mdr} \quad (8)$$

$$\lambda_{mq} = L_{mqr} i_{qr} \quad (9)$$

$$\lambda_{md} = L_{mdr} (i_{dr} + i_{fe}) \quad (10)$$

$$\lambda_{qr} = L_q i_{qr} \quad (11)$$

$$\lambda_{dr} = L'_d i_{dr} + \lambda'_d \quad (12)$$

$$L_q = L_{lr} + L_{mqr} \quad (13)$$

$$L''_d = L_{lr} + L''_{md} \quad (14)$$

$$\lambda''_d = L''_{md} \left(\frac{\lambda_{fm}}{L_{lf e}} \right) \quad (15)$$

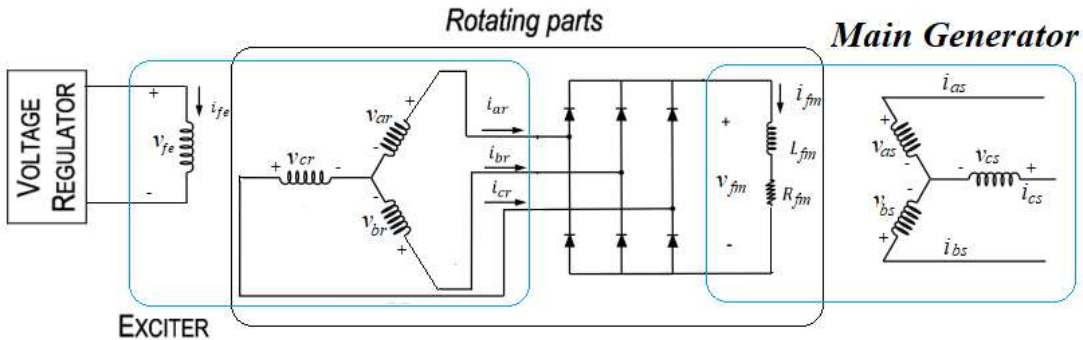
$$L''_{md} = \left(\frac{1}{L_{mdr}} + \frac{1}{L_{lf e}} \right)^{-1} \quad (16)$$

با توجه به توضیحات فوق، در ساختار بدون جاروبک دسترسی مستقیم به سیم‌پیچ تحریک ژنراتور اصلی امکان پذیر نیست و لذا ولتاژ/توان خروجی ژنراتور از طریق مبدل کنترل شده متصل به ژنراتور تحریک اصلی توسط سیستم ثبیت ولتاژ (AVR) کنترل و تنظیم می‌گردد.

از آنجا که ولتاژ و جریان تحریک ژنراتور اصلی قابل اندازه‌گیری نیستند، موضوعاتی همچون شناسایی و تخمین پارامتر، پایش وضعیت و اعمال روش‌های کنترلی جدید در ژنراتورهای سنکرون بدون جاروبک همواره بعنوان یک چالش مدنظر محققان بوده است. در [۱۲] دو روش برای تخمین جریان تحریک در موتور سنکرون بدون جاروبک ارایه شده است. در روش اول جریان‌های سه فاز سیم‌بندی رتور از کمیت‌های سمت استاتور تخمین زده شده و با فرض مدل ساده یکسوساز، جریان تحریک محاسبه می‌شود. در روش دوم ابتدا ولتاژهای سه فاز سمت رotor با استفاده از کمیت‌های سمت استاتور محاسبه شده و سپس بر مبنای آن جریان تحریک تخمین زده می‌شود. جریان تخمینی سپس در سیسم کنترل برداری سرعت متغیر موتور سنکرون مورد استفاده قرار گرفته است. در [۱۳] یک سیستم کنترل بدون سنسور موتور سنکرون رotor سیم‌پیچی شده مورد بررسی قرار گرفته است که در آن سنسورهای جریان استاتور حذف شده و این جریان‌ها با استفاده از یک رویتگر غیرخطی تخمین زده شده‌اند. همچنین در [۱۴] از تخمینگر نزدیکترین همسایگی (k-NN) مبتنی بر الگوریتم ژنتیک برای تخمین مقادیر پارامترهای ماشین به همراه جریان تحریک در موتور سنکرون رotor سیم‌پیچی شده استفاده شده است.

آخر روش ارایه شده در [۱۲] جهت محاسبه جریان تحریک در سیستم تحریک بدون جاروبک از نوع القایی توسعه داده شده است. روش‌های مذکور در این مطالعات به موقعیت رotor وابسته نیستند اما از طرفی پیاده سازی آنها به محاسبات ذسبتاً پیچیده نیاز دارد.

همانگونه که اشاره شد در پژوهش‌های مذکور بر روی تخمین جریان تحریک در سیستم تحریک بدون جاروبک از نوع القایی و یا حذف سنسور جریان در درایو کنترل موتور سنکرون رotor سیم‌پیچی شده تمرکز شده است اما در زمینه سیستم تحریک بدون جاروبک از نوع سنکرون مطالعه جامعی صورت نگرفته است. در [۱۷] نویسنده‌گان با هدف شناسایی پارامترهای یک واحد تولید توان مشتمل بر تحریک بدون جاروبک از نوع سنکرون، ولتاژ تحریک را تخمین زده و با استفاده از آن پارامترهای ژنراتور اصلی (راکتانس‌ها و ثابت زمانی‌ها) به همراه پارامترهای سیستم تحریک از نوع IEEE AC7B شناسایی شده‌اند. در این مقاله دو روش برای تخمین جریان تحریک در ژنراتور سنکرون با تحریک بدون جاروبک از نوع سنکرون ارائه شده است. در روش اول مدل ولتاژ پشت راکتانس (VBR) ژنراتور تحریک استخراج شده و سپس بر مبنای مدل مقدار میانگین یکسوساز گردن روشی برای تخمین جریان تحریک ارائه شده که به موقعیت رotor و حالت



شکل ۲. ساختار ژنراتور سنکرون بدون جاروبک مشتمل بر ژنراتور تحریک و یکسوساز گردان

به همین ترتیب بر اساس روش تابع کلیدزنی رابطه بین جریان‌های سه فاز آرمیچر و جریان خروجی یکسوساز عبارت است از:

$$\begin{bmatrix} i_{ar} \\ i_{br} \\ i_{cr} \end{bmatrix} = \begin{bmatrix} S_a \\ S_b \\ S_c \end{bmatrix} i_{fm} \quad (25)$$

که در آن S_a , S_b و S_c توابع کلیدزنی یکسوساز می‌باشند.

با جایگذاری تابع مذکور در رابطه (۲۴) داریم:

$$i_{dr} = \frac{2}{3} i_{fm} \left(S_a \sin \theta_r + S_b \sin \left(\theta_r - \frac{2\pi}{3} \right) + S_c \sin \left(\theta_r + \frac{2\pi}{3} \right) \right) \quad (26)$$

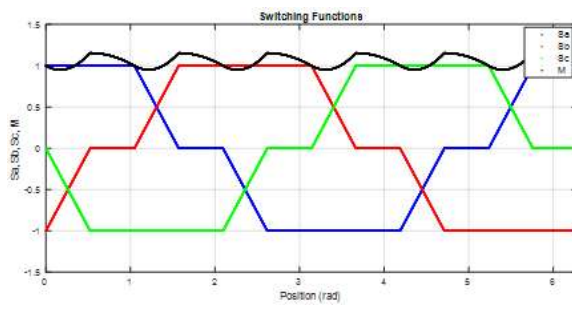
در نهایت با توجه به روابط (۲۴) و (۲۶) جریان تحریک ژنراتور اصلی را می‌توان بصورت زیر بدست آورد:

$$i_{dr} = (\int (v_{fe} - r_{fe} i_{fe}) dt - L_{fe} i_{fe}) / (M \cdot L_{md}) \quad (27)$$

که در آن:

$$M = \frac{2}{3} \left(S_a \sin \theta_r + S_b \sin \left(\theta_r - \frac{2\pi}{3} \right) + S_c \sin \left(\theta_r + \frac{2\pi}{3} \right) \right) \quad (28)$$

توابع S_a , S_b و S_c در نتیجه مقدار M به موقعیت رتور و نیز زاویه کمotaسیون وابسته هستند. با مشخص بودن این مقادیر می‌توان جریان تحریک را در هر لحظه محاسبه به نمود. این کمیت‌ها برای زاویه کمotaسیون $\frac{\pi}{6}$ در شکل (۳) ترسیم شده‌اند.



شکل ۳. توابع کلیدزنی و تغییرات کمیت M

۳-۲-تخمین بر مبنای کمیت‌های ژنراتور اصلی مدل ریاضی ژنراتور اصلی مشابه ژنراتور تحریک می‌باشد. لذا از تکرار روابط صرفنظر می‌گردد. شایان ذکر است که در بیان مدل این ژنراتور

$$v_{qr} = r_r i_{qr} + \omega_r L_d'' i_{dr} + \omega_r \lambda_d'' + L_q p_i_{qr} \quad (17)$$

$$v_{dr} = r_r i_{dr} - \omega_r L_d i_{qr} + L_d'' p_i_{dr} + p \lambda_d'' \quad (18)$$

اگر از تغییرات شار پیوندی میدان (λ_{fm}) صرفنظر کنیم، آنگاه $p \lambda_d'' = 0$ بوده و رابطه ولتاژ خروجی یکسوساز را می‌توان به صورت زیر نوشت [۱۸]:

$$v_{fm} = \frac{3\sqrt{3}}{\pi} \omega_r \lambda_d'' - \frac{3}{\pi} \omega_r L_d'' i_{fm} - \frac{3L_q + L_d''}{2} p i_{fm} \quad (19)$$

همچنین با فرض عملکرد یکسوساز دیوودی در حالت یک (بار کم) زاویه کمotaسیون از رابطه غیر خطی زیر محاسبه می‌شود [۱۸]:

$$\sqrt{3} \lambda_d'' (1 - \cos u) = \left[(L_q - L_d'') \sin(2u - 2\pi/3) + \frac{L_q + 3L_d''}{2} \right] i_{fm} \quad (20)$$

شکل (۲) ساختار ژنراتور سنکرون بدون جاروبک را همراه با یکسوساز دیوودی نشان می‌دهد.

۳-تخمین جریان تحریک

۳-۱-تخمین بر مبنای ژنراتور تحریک

با توجه به روابط (۸) و (۱۰) رابطه شار پیوندی میدان در ژنراتور تحریک را می‌توان به صورت زیر نوشت:

$$\lambda_{fe} = L_{fe} i_{fe} + L_{mdr} i_{dr} \quad (21)$$

همچنین با توجه به (۴) داریم:

$$\lambda_{fe} = \int (v_{fe} - r_{fe} i_{fe}) dt \quad (22)$$

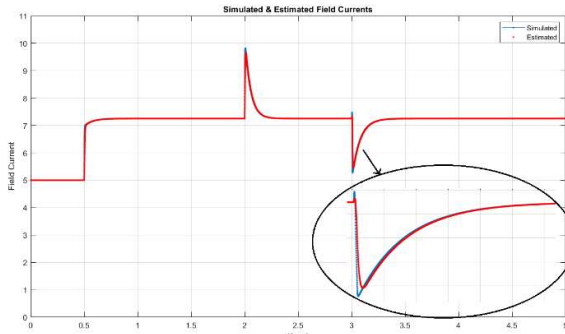
ولذا جریان i_{dr} را می‌توان مطابق زیر نوشت:

$$i_{dr} = (\int (v_{fe} - r_{fe} i_{fe}) dt - L_{fe} i_{fe}) / L_{mdr} \quad (23)$$

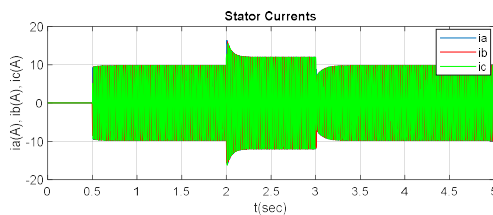
با توجه به ماتریس تبدیل پارک رابطه بین جریان i_{dr} و جریان‌های سه فاز آرمیچر را می‌توان بصورت زیر در نظر گرفت:

$$i_{dr} = \frac{2}{3} (i_{ar} \sin \theta_r + i_{br} \sin \left(\theta_r - \frac{2\pi}{3} \right) + i_{cr} \sin \left(\theta_r + \frac{2\pi}{3} \right)) \quad (24)$$

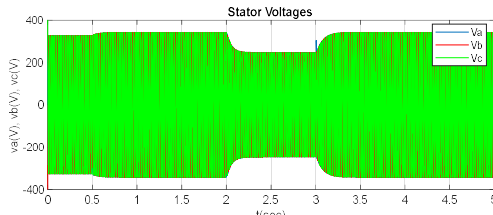
تغییرات جریان تحریک ژنراتور اصلی و نیز جریان تخیمن زده شده بر مبنای کمیت‌های ژنراتور اصلی در شکل (۵) نشان داده شده است. همچنین شکل‌های (۶) تا (۸) به ترتیب تغییرات جریان‌ها و ولتاژ‌های استاتور و توان خروجی آنرا نشان می‌دهند.



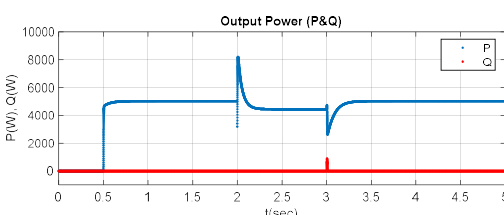
شکل ۵: تغییرات جریان تحریک ژنراتور اصلی



شکل ۶: تغییرات جریان‌های سه فاز استاتور



شکل ۷: تغییرات ولتاژ‌های سه فاز استاتور



شکل ۸: تغییرات توان حقیقی و توان موهومی

همانگونه که از شکل (۵) مشخص است با استفاده از روش ارائه شده جریان تحریک ژنراتور اصلی با دقت و سرعت مناسب تخیمن زده شده است. در $t=2\text{sec}$ بار ژنراتور و در نتیجه جریان خروجی آن افزایش می‌یابد اما با توجه به اینکه سیستم بصورت حلقه باز کنترل می‌شود با افزایش بار ولتاژ خروجی بواسطه ثابت بودن ولتاژ تحریک ژنراتور تحریک کاهش یافته و در نتیجه توان خروجی نیز کاهش می‌یابد. جریان تخیمن زده شده را می‌توان به منظور پایش وضعیت، طراحی کنترل کننده، حفاظت و نیز تخیمن پارامترهای ژنراتور و سیستم تحریک به کار برد.

از اثر اشباع مغناطیسی و نیز سیم‌بندی میراکننده صرفنظر شده است. هرچند سیم‌بیچ‌های میراکننده در سرعت سنکرون بی‌تأثیر بوده و ولتاژی در آنها القا نخواهد شد. رابطه شار پیوندی ژنراتور اصلی در راستای محور مستقیم عبارتست از:

$$\lambda_{ds} = L_{ds} i_{ds} + L_{mds} i_{fm} \quad (۲۹)$$

از طرفی بر اساس رابطه ولتاژ-جریان استاتور در راستای محور مستقیم داریم:

$$p\lambda_{ds} = v_{ds} - r_s i_{ds} + \omega_r \lambda_{qs} \quad (۳۰)$$

$$\lambda_{qs} = L_{qs} i_{qs}$$

در نتیجه:

$$\lambda_{ds} = \int (v_{ds} - r_s i_{ds} + \omega_r \lambda_{qs}) dt \quad (۳۱)$$

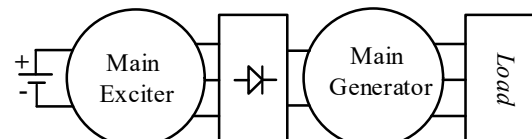
با توجه به روابط (۲۹) و (۳۱) جریان تحریک ژنراتور اصلی را می‌توان بصورت زیر تعیین نمود:

$$i_{fm} = (\int (v_{ds} - r_s i_{ds} + \omega_r \lambda_{qs}) dt - L_{ds} i_{ds}) / L_{mds} \quad (۳۲)$$

این رابطه صرفاً به مقادیر ولتاژها و جریان‌های استاتور و سرعت ژنراتور اصلی وابسته است که بر احتی اندازه گیری می‌باشد. بنابراین با اندازه‌گیری کمیت‌های سمت استاتور می‌توان جریان میدان را با دقت مناسب تعیین نمود.

۴- شبیه سازی روش تخیمن جریان تحریک

به منظور ارزیابی کارایی روش‌های فوق یک سیستم تولید توان مبتنی بر ژنراتور سنکرون بدون جاروبک با مشخصات $8/1\text{kVA}$, 400V , 50HZ , 3000rpm مطابق شکل (۴) بصورت حلقه باز شبیه سازی شده است. سایر مشخصات ژنراتور در جدول (۱) ذکر شده‌اند.



شکل ۴: ساختار سیستم تولید توان مبتنی بر ژنراتور سنکرون بدون جاروبک

جدول ۱: پارامترهای ژنراتور سنکرون

پارامتر	مقدار	پارامتر	مقدار
$L_{ls}(H)$	۱/۶۲	$r_s(\Omega)$	۰/۰۴۵۲۷
$L_{lfm}(H)$	۱/۲۰۸	$r_{fm}(\Omega)$	۰/۰۱۱۳۲
$L_{mqs}(H)$	۰/۱۰۸۶	$L_{mds}(H)$	۰/۰۵۱۷۵

ژنراتور ابتدا تحت ولتاژ تحریک نامی $33/2$ ولت و با سرعت سنکرون راه اندازی شده و در لحظه $0/5$ ثانیه باری با ضریب توان واحد به ژنراتور اعمال شده و همزمان ولتاژ تحریک جهت تولید ولتاژ نامی در خروجی افزایش داده می‌شود. سپس در $t=2\text{sec}$ بار $t=3\text{sec}$ پله‌ای افزایش یافته و در $t=3\text{sec}$ مجدداً به حالت قبل بار می‌گردد.

۵-نتیجه‌گیری و جمع‌بندی

در این مقاله دو روش برای تخمین جریان تحریک در ژنراتور سنکرون بدون جاروبک مشتمل بر سیستم تحریک از نوع سنکرون ارائه شده است. روش اول از پارامترهای ژنراتور تحریک و ولتاژ/جریان میدان آن که قابل اندازه‌گیری است، برای تخمین استفاده می‌کند. بواسطه وجود یک سوساز گردان این روش به موقعیت رتور و زاویه کموتاتور نیاز دارد. در روش دوم از پارامترهای ژنراتور اصلی و ولتاژ/جریان خروجی آن استفاده می‌شود و به موقعیت رتور بستگی ندارد. برای بررسی کارایی روش یک سیستم تولید توان مشتمل بر ژنراتور سنکرون بدون جاروبک شیوه سازی شده و عملکرد روش تخمین دوم در حضور تغییرات بار بررسی شده است. نتایج شبیه‌سازی عملکرد این روش را در تخمین جریان تحریک به خوبی نشان می‌دهد.

فهرست علامت

سرعت گردش	ω_r
موقعیت رotor	θ_r
مراجع و منابع	
[1] J. Li, <i>Design and Application of Modern Synchronous Generator Excitation Systems</i> . Wiley-IEEE Press, 2019.	
[2] J. K. Nøland, S. Nuzzo, E. F. Alves, "Excitation system technologies for wound-field synchronous machines: survey of solutions and evolving trends," <i>IEEE Access</i> , vol. 7, pp. 109699–109718, Aug. 2019.	
[3] C. Chakraborty, S. Basak, Y. T. Rao, "Synchronous generator with embedded brushless synchronous exciter," <i>IEEE Trans. Energy Conversion</i> , vol. 34, no. 3, pp. 1242–1254, Sep. 2019.	
[4] M. G. McArdle, D. J. Morrow "Noninvasive detection of brushless exciter rotating diode failure," <i>IEEE Trans. Energy Conversion</i> , vol. 19, no. 2, pp. 378–383, Jun. 2004	
[5] N. Jiao, C. Sun, X. Zhang, X. Duan, and W. Liu, "Double-side voltage-behind-reactance model of brushless exciter in aircraft wound-rotor synchronous starter-generator considering magnetic saturation," <i>IEEE Trans. Energy Conversion</i> , vol. 36, no. 3, pp. 2358–2369, Sep. 2021.	
[6] Y. Wang, S. Nuzzo, H. Zhang, W. Zhao, C. Gerada, M. Galea, "Challenges and opportunities for wound field synchronous generators in future more electric aircraft," <i>IEEE Transactions on Transportation Electrification</i> , vol. 6, no. 4, pp. 1466–1477, Dec. 2020.	
[7] C. Chakraborty, Y. T. Rao, "Performance of brushless induction excited synchronous generator," <i>IEEE Journal of Emerging and Selected Topics in Power Electronics</i> , vol. 7, no. 4, pp. 2571–2582, Dec. 2019.	
[8] H. Bhattacherjee, D. Mukherjee, U. Vuyyuru, C. Chakraborty, "Brushless synchronous generator-unidirectional rectifier for offshore wind energy conversion system" <i>IEEE Trans. Energy Conversion</i> , vol. 37, no. 2, pp. 1060–1074, Jun. 2022.	
[9] S. Nuzzo, P. Bolognesi, G. Decuzzi, P. Giangrande, M. Galea, "A consequent-pole hybrid exciter for synchronous generators" <i>IEEE Trans. Energy Conversion</i> , vol. 36, no. 4, pp. 368–379, March 2021.	
[10] E. Mostajeran, A. Safavizadeh, S. M. Ebrahimi, J. Jatskevich, "Efficient simulation of variable-speed diesel-engine generators using constant-parameter voltage-behind-reactance formulation" in 2022 <i>IEEE International IOT, Electronics and Mechatronics Conference (IEMTRONICS)</i> , June 2022.	
[11] S. Basak, A. K. Mondal, C. Chakraborty, "Performance and analysis of a new brushless synchronous generator for dc microgrid application," <i>IEEE Trans. Industry Applications</i> , vol. 56, no. 3, pp. 3137–3148, May/Jun. 2020.	
[12] P. C. Kjaer, T. Kjellqvist, and C. Delaloye, "Estimation of field current in vector-controlled synchronous machine variable-speed drives employing brushless asynchronous exciters," <i>IEEE</i>	

ولتاژ محور q ژنراتور اصلی	v_{qs}
ولتاژ محور d ژنراتور اصلی	v_{ds}
ولتاژ تحریک ژنراتور اصلی	v_{fm}
ولتاژ محور q ژنراتور تحریک	v_{qr}
ولتاژ محور d ژنراتور تحریک	v_{dr}
ولتاژ تحریک ژنراتور تحریک	v_{fe}
جریان محور q ژنراتور اصلی	i_{qs}
جریان محور d ژنراتور اصلی	i_{ds}
جریان تحریک ژنراتور اصلی	i_{fm}
جریان محور q ژنراتور تحریک	i_{qr}
جریان محور d ژنراتور تحریک	i_{dr}
جریان تحریک ژنراتور تحریک	i_{fe}
شار پیوندی محور q ژنراتور اصلی	λ_{qs}
شار پیوندی محور d ژنراتور اصلی	λ_{ds}
شار پیوندی میدان ژنراتور اصلی	λ_{fm}
شار پیوندی محور q ژنراتور تحریک	λ_{qr}
شار پیوندی محور d ژنراتور تحریک	λ_{dr}
شار پیوندی میدان ژنراتور تحریک	λ_{fe}
شار مغناطیسیس کنندگی محور q ژنراتور تحریک	λ_{mqr}
شار مغناطیسیس کنندگی محور d ژنراتور تحریک	λ_{mdr}
مقاومت استاتور ژنراتور اصلی	r_s
مقاومت میدان ژنراتور اصلی	r_{fm}
مقاومت آرمیچر ژنراتور تحریک	r_r
مقاومت میدان ژنراتور تحریک	r_{fe}
اندوکتانس پراکندگی استاتور ژنراتور اصلی	L_{ls}
اندوکتانس مغناطیسیس کنندگی محور d ژنراتور اصلی	L_{mds}
اندوکتانس مغناطیسیس کنندگی محور q ژنراتور اصلی	L_{mqs}
اندوکتانس پراکندگی آرمیچر ژنراتور تحریک	L_{lr}
اندوکتانس مغناطیسیس کنندگی محور d ژنراتور تحریک	L_{mdr}
اندوکتانس مغناطیسیس کنندگی محور q ژنراتور تحریک	L_{mqr}
اندوکتانس پراکندگی میدان ژنراتور اصلی	L_{lfs}
اندوکتانس پراکندگی میدان ژنراتور تحریک	L_{lfm}

Trans. Ind. Appl., vol. 41, no. 3, pp. 834–840, May 2005

- [13] A. Corne, N. Yang, et al., “Nonlinear Estimation of Stator Currents in a Wound Rotor Synchronous Machine,” *IEEE Trans. Ind. Appl.*, vol. 54, no. 4, pp. 3858 - 3867, July-Aug. 2018
- [14] H.T. Kahraman, R. Bayindir, S. Sagiroglu, “A new approach to predict the excitation current and parameter weightings of synchronous machines based on genetic algorithm-based k-NN estimator,” *Energy Conversion and Management.*, vol. 64, pp. 129–138, 2012
- [15] A. Deriszadeh, M. P. Calasan, A. Alaei, J. F. Geras, “A Novel Field Current Estimation Method for Brushless Wound-Field Synchronous Machine,” *IEEE Trans. Transportation Electrification*, vol. 8, no. 3, pp. 3524–3533, Sep. 2022
- [16] Z. Zhang, W. Li, L. Shi, J. Ma and Z. Yin, “A Rotor Position Signal-Free Based Field Current Estimation Method for Brushless Synchronous Starter/Generator,” *IEEE Access*, vol. 10, pp. 124408–124419, 2022
- [17] B. Zaker, A. Khodadadi and M. Karrari, “A new approach to parameter identification of generation unit equipped with brushless exciter using estimated field voltage,” *International Journal of Electrical Power and Energy Systems*, vol. 141, 2022
- [18] S. D. Pekarek, O. Wasynczuk, H. J. Hegner, “An efficient and accurate model for the simulation and analysis synchronous machine/converter systems,” *IEEE Trans. Energy Conversion*, vol. 13, no. 1, pp. 42–48, March 1998